

9 GUBITCI SILE PREDNAPINJANJA

9.1 Vođenje osi natega

Natege, s pomoću kojih se ostvaruje **sila prednapinjanja**, imaju najmanje **dvije uloge**:

- suprotstaviti se djelovanju **momenta savijanja**;
- ublažiti djelovanje **poprečne sile**.

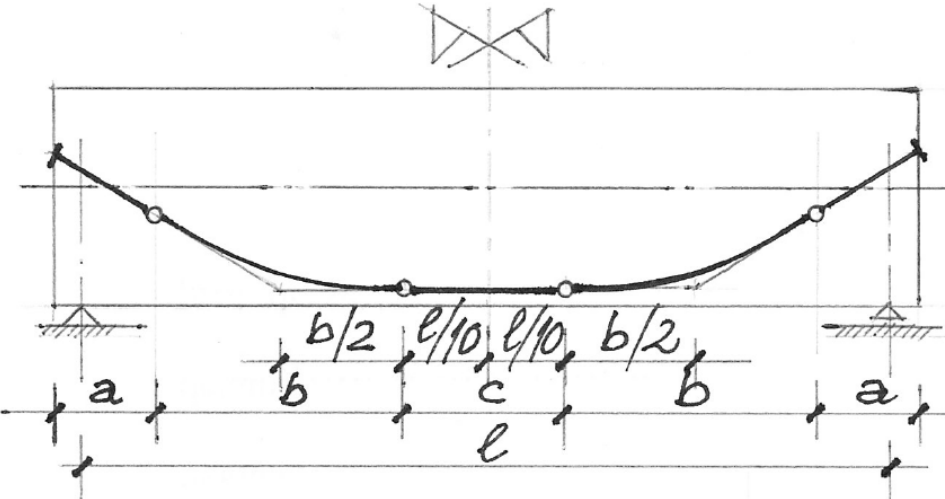
Kako bi se natega što **učinkovitije** suprotstavila djelovanju momenta savijanja, **težište** njezina **presjeka** mora biti **što dalje od težišta presjeka PB nosača**.

S druge strane, radi što **učinkovitijega** protudjelovanja **poprečnoj sili**, os nate mora biti što **strmija** na potezu nosača gdje djeluju **velike poprečne sile**.

Iz ovoga slijedi kako **os natega** treba voditi tako da na potezu oko **polovišta raspona** bude **što niže**, a **na čelu nosača** **što više** (slika 9.1).

Rečeno vrijedi za tzv. **rezultantnu nategu**.

9. I Vođenje osi natega



Slika 9.1: Uzdužni raspored natege

Tako se može dogoditi da na **čelu** nosača **težište** tzv. rezultantne **natege** (one što nadomješta **sve** natege u nosaču) bude **iznad težišta** presjeka PB nosača.

To ne smeta – bitno je da ne bude iznad **gornjeg ruba središnje jezgre** presjeka.

Na slici 9.1 vidimo kako se os natege sastoji od triju odsječaka **pravca** i dvaju odsječaka **parabole** II. reda.

Odsječci su pravca na potezima **uz ležajeve nagnuti** (protudjelovanje **poprečnoj sili**), a onaj je **uz polovište raspona usporedan s osi nosača**.

To je zbog **momenata savijanja** od **promjenjivog opterećenja**.

9. I Vođenje osi natega

Naime, promjenjivo je opterećenje **promjenjivo** ne samo po **veličini** (jačini) nego i po **položaju** duž PB nosača.

Što se **veličine** tiče zanima nas **najveća** (najčešće) i **najmanja** (rjeđe) **vrijednost**.

Za svaki **položaj** možemo odrediti pripadni **tijek momenata savijanja**, ali znamo da svi ti **momenti** imaju **ovojnicu** (envelopu) što ima oblik **parabole** II. stupnja s tjemenom **desetinskoj točki raspona** (slika 9.I).

Prisjetimo se sada **područja** kroz koje **mora proći** os nadomjesne (rezultirajuće) **natege**, pa i njega uzimajmo u obzir kada vodimo os natege.

Duljina nagnutih poteza natege uz ležajeve zavisi od **jačine** natege, a obično je $1,5 \div 2,5$ m.

Nagib je osi natege na tom potezu takav da se **pravac nastavlja na tangentu na parabolu**.

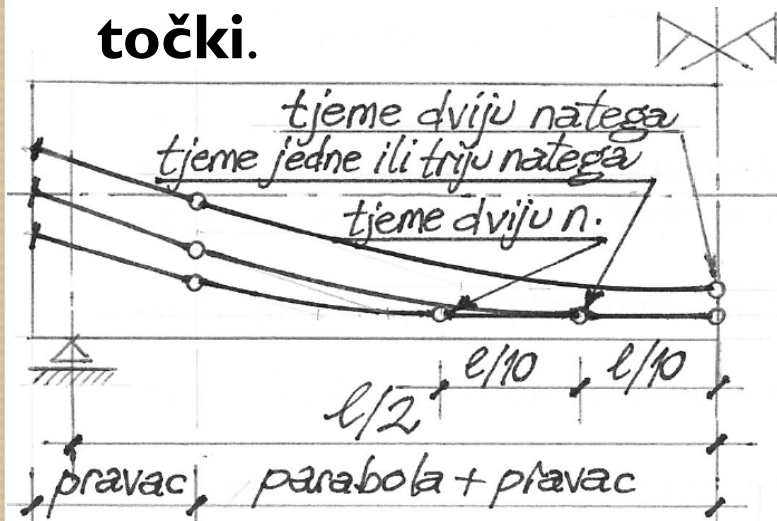
9. I Vođenje osi natega

Parabolast oblik osi natege na preostalim potezima **prirodan** je: on slijedi **tijek momenata savijanja**.

Sve što je rečeno za **nadomjesnu** nategu načelno vrijedi i za svaku **pojedinačnu**.

Ipak, ima i stanovitih **razlika** o kojima moramo voditi računa.

Naime, iz činjenice da se **tjeme parabole nadomjesne natege** nalazi u **desetinskoj točki** uz polovište raspona **ne slijedi** da i **tjeme parabole svake natege** mora biti **u toj točki**.



Međutim, tjemena parabola **pojedinačnih** natega moraju biti raspoređena **simetrično** oko te točke (slika 9.2).

Pri tomu mogu i po **dvije** natege imati tjemena u **istomu** presjeku.

Slika 9.2: Razmještaj tjemena parabola

9. I Vođenje osi natega

Uočimo kako **nisu sva tjemena parabola na istoj razini**, ali o tomu će biti više govora kasnije.

Prigodom vođenja osi pojedinačne natege moramo biti svjesni dviju **proturječnosti**:

- U nastojanju da postignemo što veću **učinkovitost** u suprotstavljanju **momentu savijanja** što veći broj natega **smještamo u najniži sloj**.
- Najveći broj sidara natega **na čelu nosača** smještamo u **srednju ravninu nosača**.

Iz ovoga slijede **dva načela**:

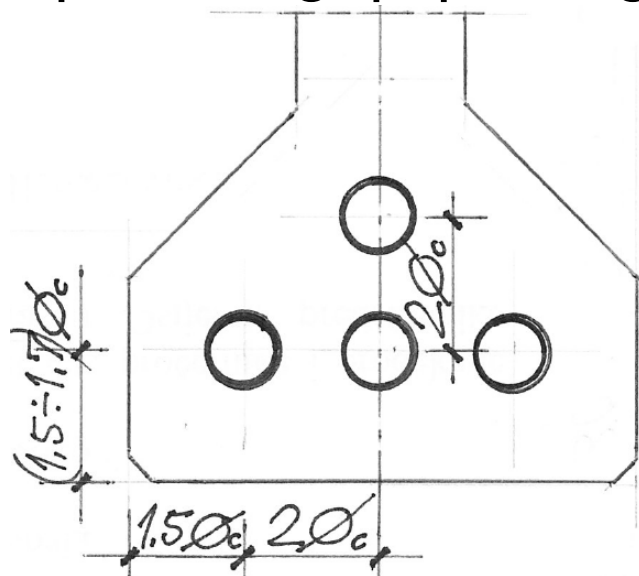
- Os natega što se na potezu oko polovišta raspona nalaze u **srednoj ravnini nosača** treba **što prije dići** kako bi se oslobodio prostor za **vodoravna skretanja** bočnih natega.
- Sva **vodoravna skretanja** treba obaviti **ispod razine presječnice kose pobočke donje pojasnice i hrpta**.

9. I Vođenje osi natega

Pri svemu ovomu vrijedi **željezni zakon:**

**SVA VODORAVNA SKRETANJA OSI NATEGA
MORAJU BITI STROGO SIMETRIČNA S OBZIROM NA
SREDNJI RAVNINU NOSAČA.**

Naime, **nesimetrično** vođenje osi natega izazvalo bi **zнатне poprečne momente savijanja**, na koje je nosač **slabo otporan** (vidjeli smo to u poglavlju o određivanju potrebnoga poprečnoga presjeka).



Slika 9.3: Poprečni razmještaj natega

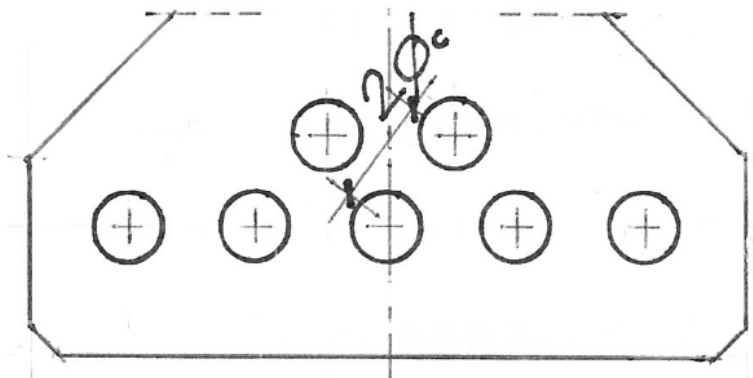
Radi valjana vođenja osi pojedinačnih natega nužno je pridržavati se **pravila o međusobnim razmacima natega i o najmanjim debљinama zaštitnih slojeva betona** (slika 9.3).

Obično su dana u **prospektima pojedinih sustava prednapinjanja.**

9. I Vođenje osi natega

Pogledajmo sada zašto treba **sve** natege što **ne mogu stati u donji vodoravni sloj** smjestiti u **srednju ravninu**.

Naime, nastojanje za većom **učinkovitosti** u suprotstavljanju **momentu savijanja** nalagalo bi da se **preostale** natege (u ovom slučaju dvije) stave u **sljedeći sloj** (slika (9.4)).



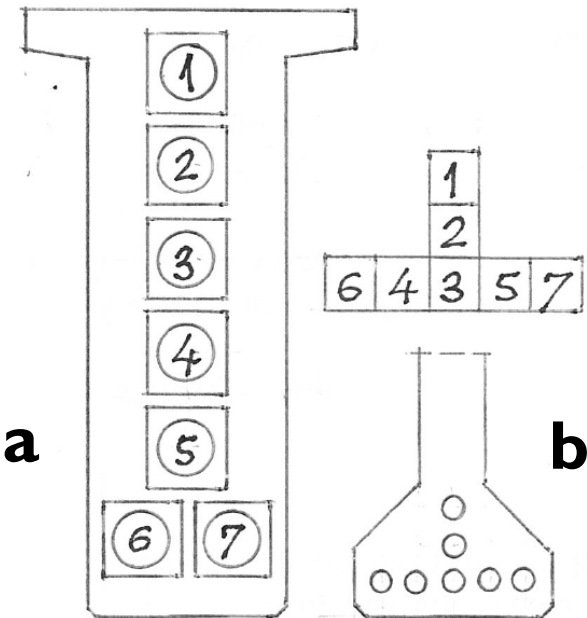
Slika 9.4: Najniži mogući položaj težišta 7 natega

Držimo li se prije navedenih načela, moramo **prvo** obaviti **vodoravna skretanja** (uz polagano dizanje – do razine spomenute presječnice kose pobočke donje pojasnice i pobočke hrpta) dviju

gornjih natega kako bi se oslobođio prostor za **dizanje** natege smještene u srednjoj ravnini.

Međutim, za sve je to potrebna i **treća dimenzija** (duž osi nosača), pa se dakle **odgađa** ono što bi se moglo obaviti **odmah** kada bi ove dvije natege bile **u srednjoj ravnini**.

9. I Vođenje osi natega



Slika 9.5: Poprečni razmještaj natega

a) na čelu nosača; b) u polovištu raspona

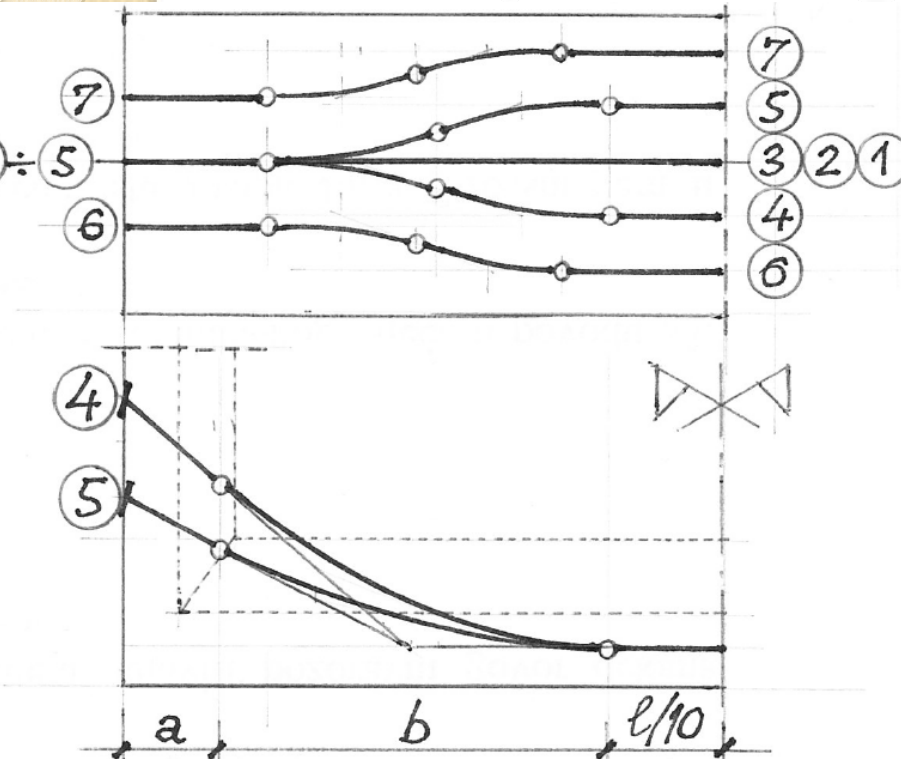
zahtjevi na najmanje **međusobne razmake**, te zahtjev na položaj **težišta** svih **natega** u odnosu na **težište presjeka nosača** (slika 9.5).

Osim ovih **dvaju** poprečnih **presjeka** valja nacrtati i **tlocrt**, s tim što se njegove **poprečne izmjere** nanose **preuveličano** kako bi se jasnije vidjeli odnosi **zakrivljenih** poteza, te **dio pogleda** (slika 9.6).

Pokažimo do sada izneseno na primjeru nosača sa **sedam** natega. Presjek je nosača na potezu uz ležaj najčešće **pravokutan** (s malim prijepustima gornje pojnice) kako bi se mogle ugraditi sidrene glave.

Na **čelu** nosača **sidrene se glave** rasporede tako da se zadovolje zahtjevi na najmanje **međusobne razmake**, te zahtjev na položaj **težišta** svih **natega** u odnosu na **težište presjeka nosača** (slika 9.5).

9. I Vođenje osi natega



Slika 9.6: Vodoravno skretanje natega i pogled na najviše skretane natege

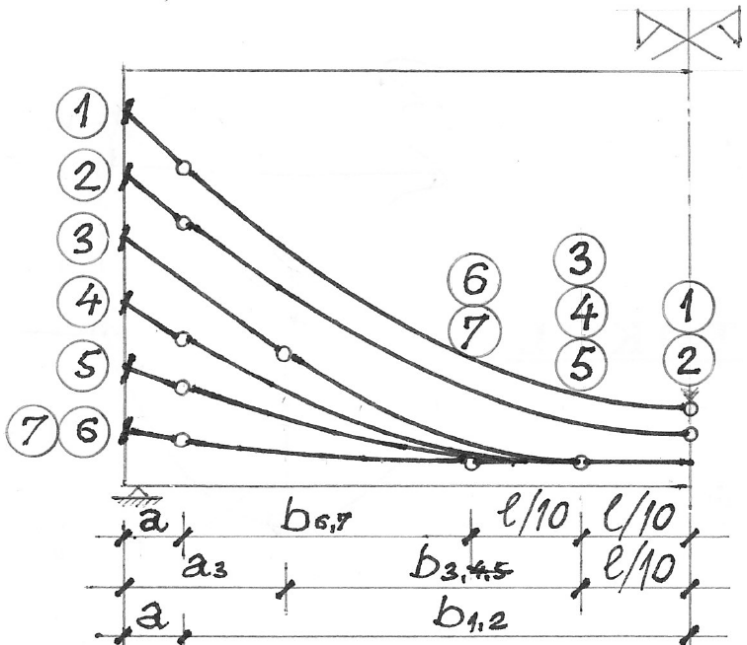
Osi natega što vodoravno skreću **dvostruko** su **zakriviljene** (tvore S-krivine).

Krivulje što ih opisuju načelno bi trebale biti **kružnice**, ali s obzirom na razmjerno **malu zakriviljenost** mogu se nadomjestiti **parabolama**.

Imamo dakle **sedam** natega od kojih su **tri u srednjoj ravnini**. Dio pogleda nuždan nam je kako bismo vidjeli **prije kojega se presjeka** mora dogoditi vodoravno **skretanje** pojedine natege.

Na njemu prikazujemo samo one natege što **vodoravno skreću**, a one **tri** što su u srednjoj ravnini idu **izravno** prema gornjem dijelu čela nosača.

9. I Vođenje osi natega



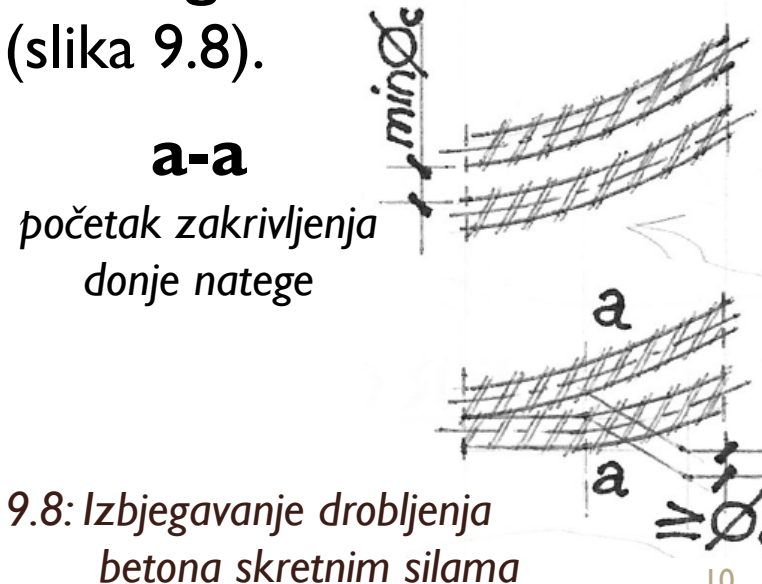
Slika 9.7: Uzdužni raspored pojedinih natega zakrivljenosti na istoj strani (slika 9.8).

Međusobni razmak ne smije biti **manji od promjera zaštitne cijevi** natege kako ne bi došlo do **cijepanja i drobljenja betona** pod djelovanjem **skretnih sila** u nategama.

Nacrtajmo još jednom svih sedam natega u pogledu (slika 9.7).

To je nužno kako bismo bolje vidjeli razmještaj **tjemenā parabolā**, ali još više radi izbjegavanja **bliska položaja dviju natega sa središtim**

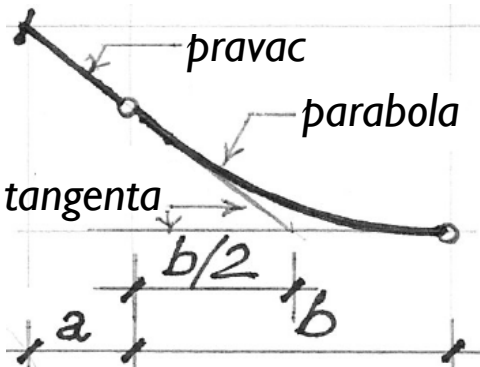
(slika 9.8).



Slika 9.8: Izbjegavanje drobljenja betona skretnim silama

9. I Vođenje osi natega

Podsjetimo se na **geometrijske odnose** što ih često susrećemo pri vođenju natega.



Slika 9.9: Crtanje parabole u pogledu

Drugo, pri **vodoravnom** vođenju natega valja imati na umu da se **skretanja** događaju na potezima duljine što iznosi **cio broj metara**, jer su **držači natega** razmješteni na razmaku 1 m (slika 9.10).

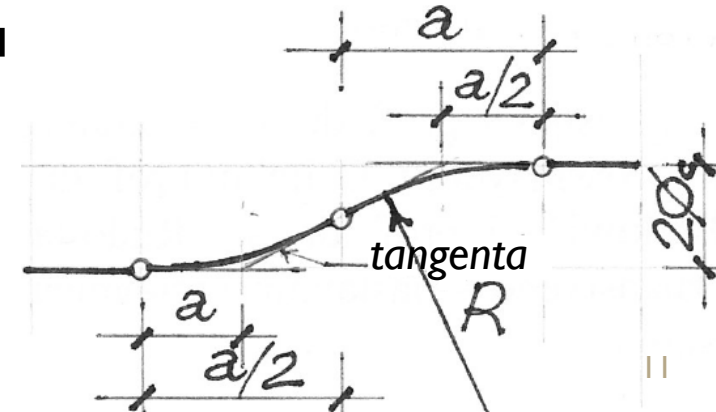
Tangenta u **prijevojnoj točki** pada u **polovišta razmaka** do početaka **usporednih poteza** osi natege.

Lako se postave jednačbe iz kojih se dobije **polumjer zakrivljenosti**.

Prvo, crtanje **parabole** u pogledu (slika 9.9).

Tangenta na nju pada u **polovište razmaka između dodirne točke i tjemena**.

Slika 9.10: Vodoravno skretanje natege



9. I Vođenje osi natega

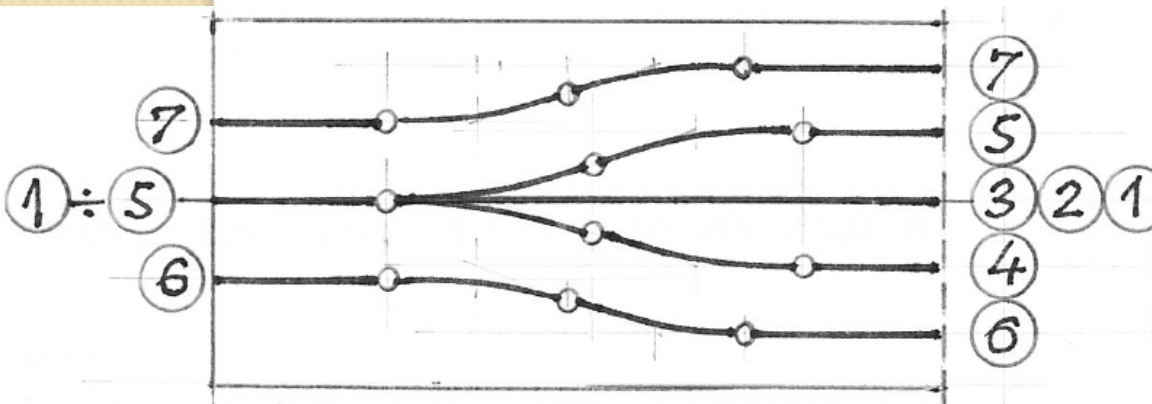
$$a = R \cdot \sin \alpha \quad (9.1)$$

$$\varnothing_c = R(1 - \cos \alpha) \quad (9.2)$$

Iz ovih je dviju jednačbā lako odrediti R :

$$R = \frac{a^2 + \varnothing_c^2}{2\varnothing_c} \quad (9.3)$$

Ako uzmemo da je $a = 1,0$ m (što je najčešći slučaj), izlazi da je $R > 7$ m, dakle $\gg R_{min}$ (on je obično $1,0 \div 3,5$ m).



Slika 9.11: Vodoravno skretanje najnižih natega
(broj 6 i 7)

Nerijetko se u dnu čela nosača mogu smjestiti dvije natege, a one se vodoravno skreću **nakon** ostalih (slika 9.11).

Općenito valja nastojati da broj natega **ne bude veći** od **sedam** (ali ni manji od tri!).

9.2 Trenutačni gubitci sile prednapinjanja

Trenutačnim se gubitcima nazivaju oni gubitci što nastaju **odmah u trenutku prednapinjanja**.

Oni imaju tri glavna uzroka:

- trenje,
- prokliznuće klina i
- elastično skraćenje betona.

Valja znati da u sustava prednapinjanja BBR sa žicama kao vlačnim člancima **nema gubitaka od prokliznuća klina**, jer se žice sidre hladno oblikovanim glavicama.

S druge strane, u svih sustava s **užetima** kao vlačnim člancima **mjera je prikliznuća klina podjednaka** (oko 6 mm), pa su onda i dotični **gubitci podjednaki**.

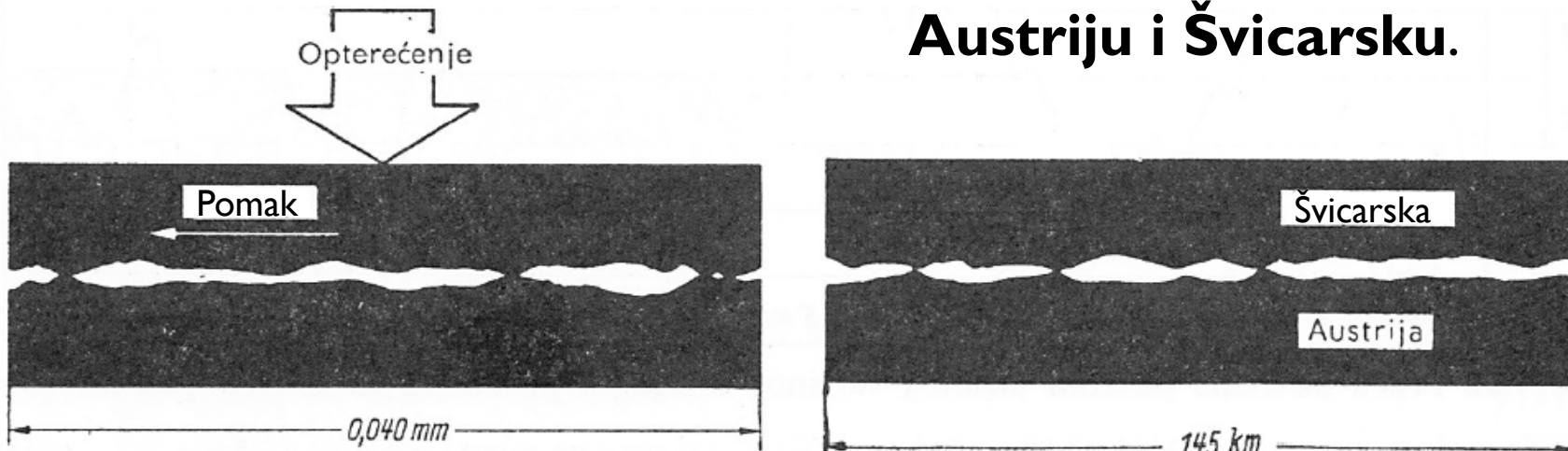
9.2 Trenutačni gubitci sile prednapinjanja

9.2.1 Gubitci od trenja

Trenjem se naziva **otpor** što nastaje kada kakvo tijelo nastojimo **pomaknuti** u odnosu na koje drugo, najčešće **podlogu**, a taj je otpor uzrokovani **neravnošću dodirne plohe**.

Pod prstima **ne možemo osjetiti** tu **neravnost**.

Dojmljiv dokaz za to pruža slika 9.12 na kojoj je uspoređen **dodir dviju brušenih čeličnih ploha s presjekom kroz Austriju i Švicarsku.**



Slika 9.12: a) poprečni presjek dviju brušenih čeličnih ploča (povećanje 2000)
b) Švicarska položena obrnuto na Austriju; mj: I : 2.000.000

9.2 Trenutačni gubitci sile prednapinjanja

9.2.1 Gubitci od trenja

Inače se sila trenja izražava umnoškom okomite sile i koeficijenta trenja:

$$T = \mu \cdot N \quad (9.4)$$

Kada se čelična žica **napne**, ona se nastoji **ispraviti** (uz neizbježivi **progib** zbog vlastite težine).

Žica se osim toga **produljuje**, pa se javlja **trenje** između žice i zaštitne cijevi.

Gubitak sile zbog trenja to je **veći** što je **veći dodirni pritisak**, dotično što je žica **jače zakrivljena**.

Trenje **smanjuje** silu u vlačnomu članku idući od **napetljivoga sidra** prema **nенапетливому**.

Os natege sastoji se od **prividno prävih** i **namjerno zakrivljenih** poteza.

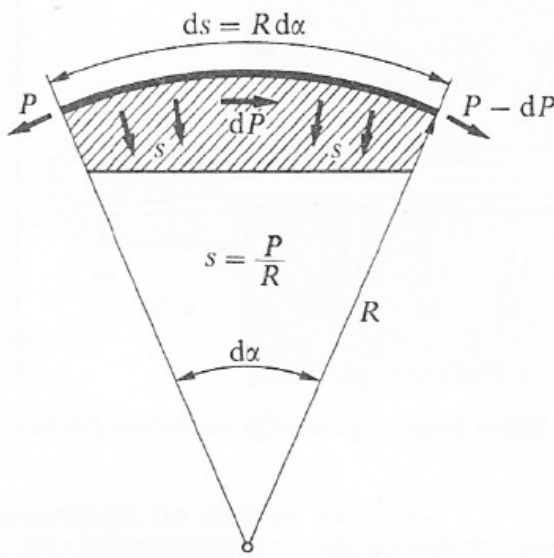
Trenje se javlja i **na prividno prävim potezima** jer se ne može napraviti **savršeno ispravljeni nateg**, tj. nateg čija je os **savršen pravac**.

9.2 Trenutačni gubitci sile prednapinjanja

9.2.1 Gubitci od trenja

Natega se naime **podupire** na stanovitim razmacima (držači natega), a između njih ona se **progiba** pod djelovanjem **vlastite težine**, a pri betoniranju i pod djelovanjem **težine svježeg betona**.

Ova se vlastitost natege naziva **nepredviđenom** (nenamjernom) **zakriviljenošću natege**.



Slika 9.13: Smanjenje sile u natezi prebačenoj preko zakriviljene podloge

Ako se zakriviljena žica duljine ds napinje silom P , na dodirnu će zakriviljenu plohu djelovati tlak $P \cdot ds / R$ usmjeren prema središtu zakriviljenosti (slika 9.13), gdje je R polumjer zakriviljenosti.

Pri tomu je sila trenja:

$$dP = -\mu \frac{P \cdot ds}{R} \quad (9.5)$$

9.2 Trenutačni gubitci sile prednapinjanja

9.2.1 Gubitci od trenja

U sredini slike zapisana je “kotlovska formula” po kojoj se dobiva **skretna sila** po jedinici duljine, a gore je navedena sila što djeluje na luku duljine ds .

Ona je **okomita sila** od koje izravno zavisi **sila trenja**, što se opire pomicanju žice; μ je koeficijent trenja.

Budući da je $ds = R \cdot d\alpha$, dobiva se **diferencijalna** jednačba:

$$\frac{dP}{P} = -\mu \cdot d\alpha \quad (9.6)$$

čije je rješenje:

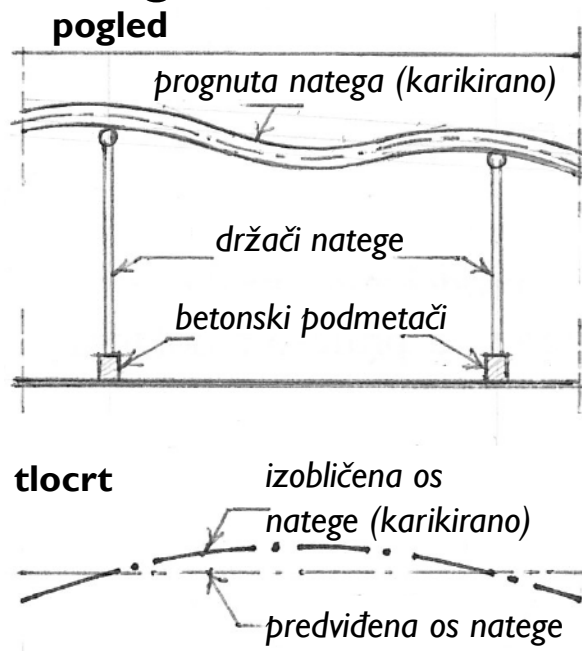
$$P = P_0 \cdot e^{-\mu\alpha} \quad (9.7)$$

gdje je P_0 sila na početku zakrivljenja, a α kut skretanja od toga početka do točke u kojoj djeluje sila P .

9.2 Trenutačni gubitci sile prednapinjanja

9.2.1 Gubitci od trenja

Podsjećamo da je rješenje ove diferencijalne jednačbe našao g. 1762. **Leonhard Euler** (1707.-'83), švicarski matematičar na službi na Carskoj akademiji (tadanji naziv sveučilišta) u Petrogradu.



Slika 9.14: Nenamjerno skretanje natege od željenog oblika osi, pa se dakle **nenamjerna** skretanja protežu duž cijele osi natege.

Treba još imati na umu kako do **nenamjernih** skretanja dolazi ne samo u **okomitoj ravnini** nego i u **tlocrtu** (slika 9.14).

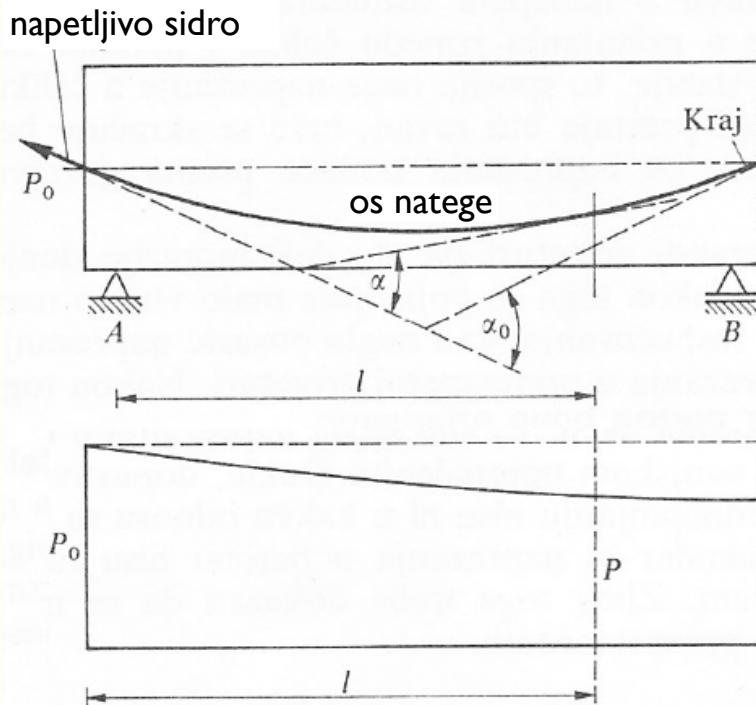
Do ovih drugih dolazi zbog neizbježivih **netočnosti** i pogrešaka u radu.

Osim toga, i na potezima **namjernih** skretanja imamo odstupanja

9.2 Trenutačni gubitci sile prednapinjanja

9.2.1 Gubitci od trenja

Utjecaj nepredviđene zakrivljenosti izračunava se s pomoću tzv. koeficijenta linijskih gubitaka, λ .



Slika 9.15: Smanjenje sile prednapinjanja djelovanjem trenja

On je jednak umnošku **zbroja kutova skretanja** na 1,0 m duljine prividno präve (ili pravilno zakrivljene) natege i **koeficijenta trenja**, μ .

Iz ovoga slijedi kako je sila u presjeku nosača udaljenu za l od **napetljivoga sidra** (slika 9.15) jednaka:

$$P = P_0 \cdot e^{-(\mu\alpha + \lambda l)} \quad (9.8)$$

Koeficijenti μ i λ određuju se **pokusom**, a njihove se vrijednosti mogu naći u **priručnicima**.

9.2 Trenutačni gubitci sile prednapinjanja

9.2.1 Gubitci od trenja

Po podatcima proizvođača **linijski su gubitci** $0,15 \div 0,7\%$ (dakle variraju u dosta širokim granicama).

U nedostatku **pouzdanijih** podataka prirodno je prepostaviti u proračunu **srednju vrijednost** od ovih dviju skrajnjih.

Budući da je kut α obično **malen** (a takva je i vrijednost $\lambda \cdot \lambda$) dopustivo je i **pojednostavljenje** po kojem je:

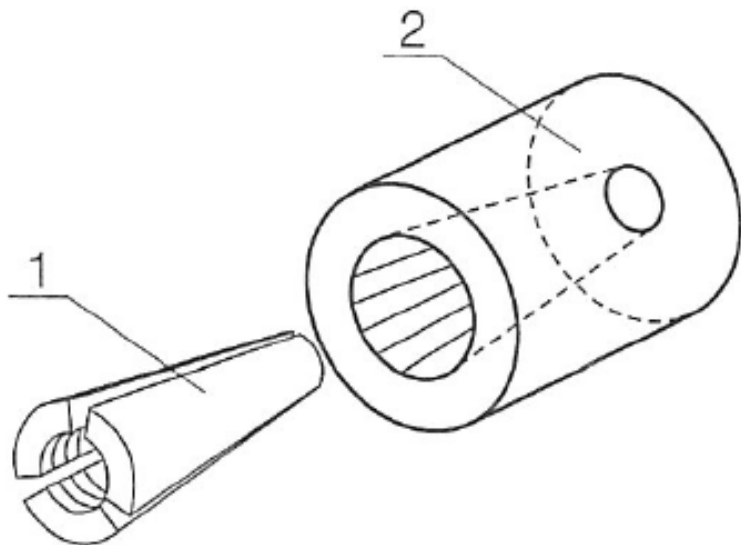
$$e^{-(\mu\alpha+\lambda l)} \approx \mu\alpha + \lambda l \quad (9.9)$$

Međutim, danas kada je **računalo** dostupno gotovo svakomu, malo kada se poseže za ovim pojednostavljenjem.

9.2 Trenutačni gubitci sile prednapinjanja

9.2.2 Gubitci od prokliznuća klina

Ovaj se gubitak naziva i **gubitkom** zbog povlačenja žica (užetā) pri zaklinjavanju.



Slika 9.16: Trodijelni sidreni klin

Kako bismo bolje razumjeli o čemu se radi, prisjetimo se **trodijelnoga klina** (slika 9.16) što ga ima većina sustava prednapinjanja s **užetima** kao vlačnim člancima.

Dapače, postupak **zaklinjavanja** valja predočiti u **dvama** bitnim prizorima:

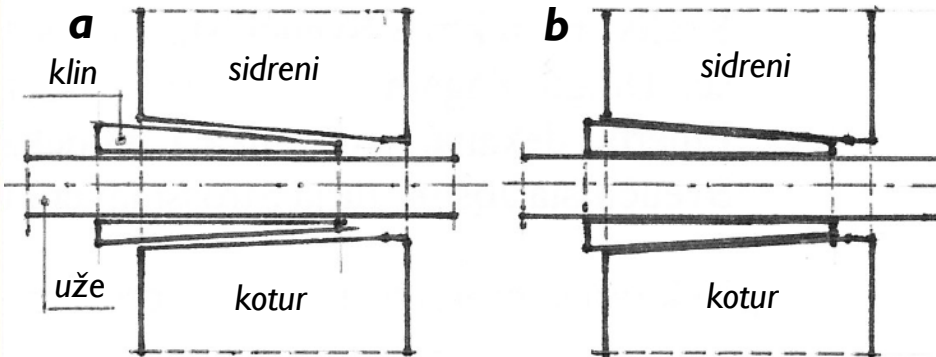
- * trodijelni **klin** u položaju **prije utiskivanja** i

- * trodijelni **klin** u položaju **nakon utiskivanja** (slika 9.17).

Na slici je predočen samo jedan **čunjasti provrt** u koturu.

9.2 Trenutačni gubitci sile prednapinjanja

9.2.2 Gubitci od prokliznuća klina



Slika 9.17: Dva položaja trodijelnoga klina

- a) prije zaklinjavanja
- b) nakon zaklinjavanja

dakle i **uvlači** u zaštitnu cijev.

Zbog ovoga skraćivanja **smanjuje** se sila u užetu.

Postavlja se pitanje kolik je **otpor uvlačenju** užeta u odnosu na **otpor izvlačenju** – u obama slučajevima radi se o **trenju**.

Kako bismo odgovorili na ovo pitanje, moramo **izbližega** **promotriti** što se zbiva pri ovim pomacima.

Pošto **zupci** trodijelnoga klina “**zagrizu**”, **klin** se prigodom utiskivanja **miče** zajedno sa zahvaćenim **užetom**.

Pritom se predhodno razvučeno uže **skraćuje**, pa

9.2 Trenutačni gubitci sile prednapinjanja

9.2.2 Gubitci od prokliznuća klina

Prisjetimo se onih “**planinskih vrhunaca**” sa slike 9.12.

Ti se vrhunci prigodom **izvlačenja** užeta (pri napinjanju) **nagibaju** prema napetljivom sidru (u smjeru izvlačenja užeta).

Nagnuti vrhunci još se **jače suprotstavljaju uvlačenju** užeta pri zaklinjavanju.

Međutim, uvriježeno je da se uzima kako je **otpor trenja u obama slučajevima jednak**, jer se tako ostaje **na strani sigurnosti**.

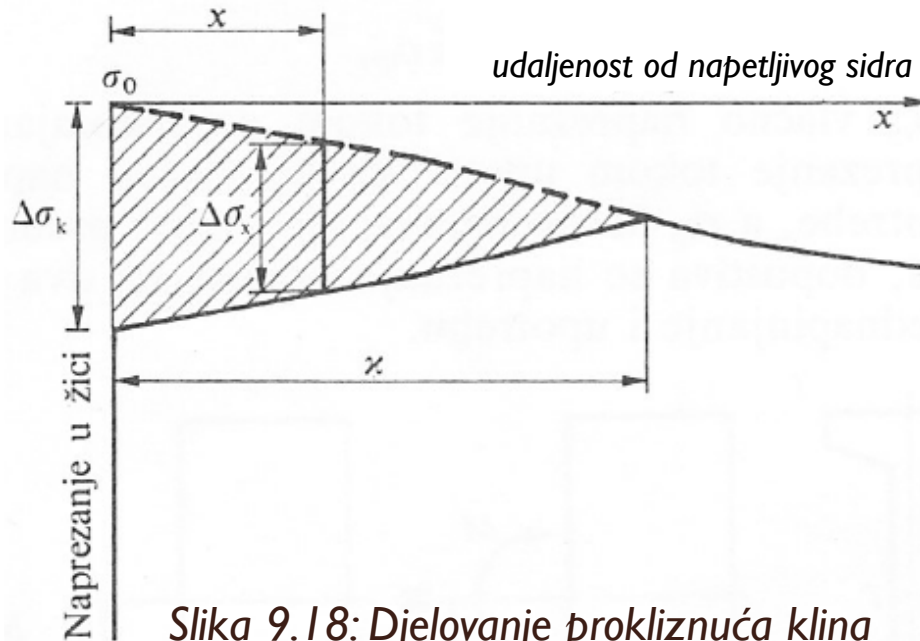
Udaljenost do koje seže utjecaj prokliznuća klina (povlačenja užeta) dobiva se, sukladno **Hookeovu** zakonu, iz izraza:

$$\kappa = \frac{1}{E_p} \int_0^x \Delta \sigma_x dx \quad (9.10)$$

a oznake su vidljive na slici 9. 18.

9.2 Trenutačni gubitci sile prednapinjanja

9.2.2 Gubitci od prokliznuća klina



Slika 9.18: Djelovanje prokliznuća klina
u tijeku zaklinjavanja

Ova duljina zna sezati i preko polovišta raspona, pa i do nenapetljivoga sidra (u kraćih PB nosača).

Također je važno znati napinje li se natega s jednoga kraja nosača ili s obaju.

To ćemo potanje proučiti pri razmatranju **cjelovite slike trenutačnih gubitaka sile prednapinjanja od svih triju utjecajnih čimbenika.**

9.2 Trenutačni gubitci sile prednapinjanja

9.2.3 Gubitci od elastičnoga skraćenja betona

Ako na prizmu djeluje **osna sila**, ona se **skraćuje**, po **Hookeovu zakonu**.

Ako je u AB prizmi (gredi) **napeta natega** i greda se **skraćuje**.

Znatna je razlika između **prethodno** i **naknadno napetih greda**.

U **prethodno** napetih greda sve se natege napinju **odjednom**, te nastaje **puni gubitak sile** od elastičnoga skraćenja betona.

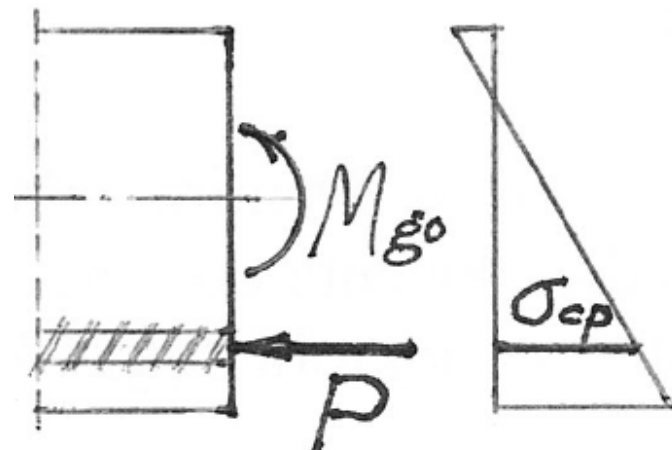
U **naknadno** napetih natege se napinju **jedna po jedna**, pri čemu napinjanje pojedinih natega izaziva gubitak sile u **već napetima**; jedino se pri napinjanju **prve** natege ne događa **nikakav gubitak**, jer se beton skraćuje **istodobno** s napinjanjem žice.

9.2 Trenutačni gubitci sile prednapinjanja

9.2.3 Gubitci od elastičnoga skraćenja betona

Kako **izračunati** gubitak sile prednapinjanja od elastičnoga skraćenja betona?

Treba prvo vidjeti koliko će se **skratiti beton u razini težišta svih natega**, a za to je potrebno najprije izračunati **naprezanje u betonu** u spomenutoj razini (slika 9.19).



Slika 9.19: Naprezanje u betonu u razini natege vrijednosti i imajmo na umu kako je ovdje $y = e$:

Opći je izraz za naprezanje u **mimoosno** napregnutu štapu:

$$\sigma_y = \frac{N}{A} \pm \frac{M \cdot y}{I} \quad (9.11)$$

Uvrstimo odgovarajuće vrijednosti i imajmo na umu kako je ovdje $y = e$:

$$\sigma_{cp} = -\frac{P}{A} - \frac{P \cdot e \cdot e}{I} \quad (9.12)$$

9.2 Trenutačni gubitci sile prednapinjanja

9.2.3 Gubitci od elastičnoga skraćenja betona

Opet **drugi** pribrojak pomnožimo i podijelimo s ploštinom presjeka, pa uzmimo u obzir kako je:

$$\frac{I}{A} = i^2 \quad (9.13)$$

Tako ćemo dobiti:

$$\sigma_{cp} = -\frac{P}{A} \left(1 + \frac{e^2}{i^2} \right) \quad (9.14)$$

Ovo je **puna** veličina gubitka sile prednapinjanja od elastičnoga skraćenja betona.

U slučaju **naknadno** napetih nosača ovu veličinu treba **pomnožiti s faktorom smanjenja** što se dobije iz sljedećeg razmatranja.

Pri napinjanju **druge** natege **smanjuje se sila u prvoj**; kada se napinje **treća smanjuje se sila u prvoj i drugoj** i tako redom do **(n – I)**, gdje je **n broj natega**.

9.2 Trenutačni gubitci sile prednapinjanja

9.2.3 Gubitci od elastičnoga skraćenja betona

Gubitci sile srazmjerni su sa **silama u pojedinačnim nategama**, a one su **n-ti dio ukupne sile prednapinjanja**.

Zbroj svih gubitaka srazmjeran je zbroju ($n - l$) prirodnih brojeva:

$$\sum(n-1) = \frac{n}{2}(n-1) \quad (9.15)$$

Računamo međutim s **prosječnim** gubitkom sile, pa dakle ovaj zbroj treba **podijeliti sa n** .

Tako dobivamo broj **srazmjeran** sa zbrojem gubitaka:

$$\frac{1}{n} \sum(n-1) = \frac{1}{2}(n-1) \quad (9.16)$$

Dijeljenjem i ovoga broja sa **n** dobivamo broj srazmjeran s **prosječnim** gubitkom sile prednapinjanja zbog elastičnoga skraćenja betona, dakle **faktor smanjenja**:

9.2 Trenutačni gubitci sile prednapinjanja

9.2.3 Gubitci od elastičnoga skraćenja betona

$$r_{es} = \frac{1}{2} \left(1 - \frac{1}{n} \right) \quad (9.17)$$

Vidimo da je njegova vrijednost između **0,33** (tri natege) i **0,50** (teorijski slučaj – neizmjerno mnogo natega).

		Natege u kojima se javlja gubitak sile				
		1	2	3	4	5
Natege što se napinju	1	O				
	2	-	O			
	3	-	-	O		
	4	-	-	-	O	
	5	-	-	-	-	O

Zgodno je utjecaj napinjanja pojedine natege na gubitke sile u drugima predočiti u preglednoj tablici.

Kružići označuju natege u kojima **nema gubitaka**, a crtice one s **gubitcima**.

Još jedan praktičan slučaj: za sedam natega $r_{es} = 0,43$.

9.2 Trenutačni gubitci sile prednapinjanja

9.2.3 Gubitci od elastičnoga skraćenja betona

Iz naprezanja u betonu u razini težišta svih natega (jedn. 9.14) može se izračunati **pripadno skraćenje betona**:

$$\varepsilon_c = \frac{\sigma_{cp}}{E_c} \quad (9.18)$$

Istodobno se **natega** (žice ili užeta) **produljuje** za:

$$\varepsilon_p = \frac{\sigma_{P0}}{E_p} = \frac{P}{A_p E_p} \quad (9.19)$$

U ovom su izrazu:

P – sila prednapinjanja u promatranom presjeku;

A_p – ploština presjeka svih natega;

E_p – modul elastičnosti čelika za prednapinjanje.

Kada bi se **sve** natege napinjale **istodobno**, **gubitak sile** zbog elastičnoga skraćenja bio bi jednak $\varepsilon_c / \varepsilon_p$.

9.2 Trenutačni gubitci sile prednapinjanja

9.2.3 Gubitci od elastičnoga skraćenja betona

Očito je da bi se, kada bi ove dvije vrijednosti bile **jednake, potpuno izgubila sila prednapinjanja.**

Srećom, **nikada** nije tako.

Zbog činjenice da se natege napinju **jedna po jedna** spomenuti omjer treba pomnožiti s faktorom r_{es} (jedn. 9.17), pa je gubitak sile prednapinjanja zbog elastičnoga skraćenja betona:

$$P_{es} = P \frac{\varepsilon_c}{\varepsilon_p} \cdot \frac{1}{2} \left(1 - \frac{1}{n} \right) \quad (9.20)$$

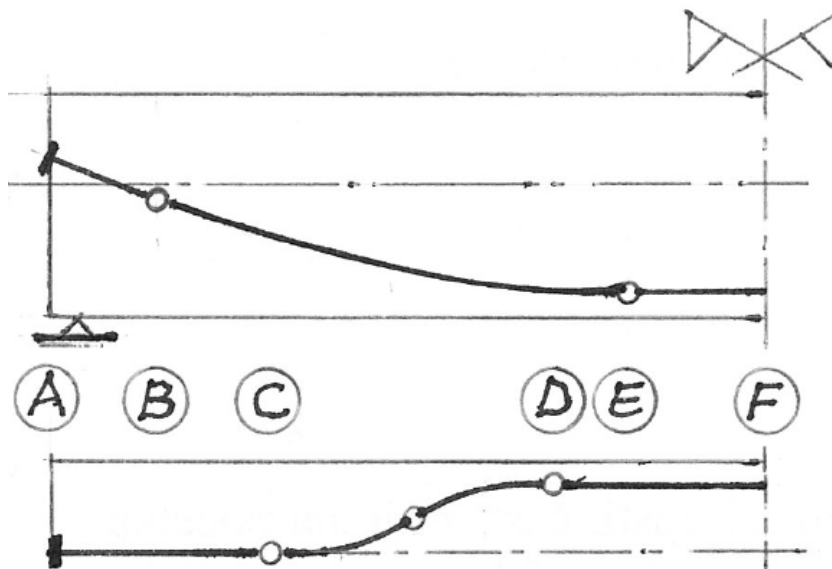
pri čemu je P sila u promatranomu presjeku (vodeći računa o gubitcima zbog trenja i prokliznuća klina).

9.3 Prikaz trenutačnih gubitaka sile prednapinjanja

Radi točna **proračuna** gubitaka od trenja i prokliznuća klina u svakomu presjeku nosača nužno je poznavati **točan prostorni tijek osi natege**.

Za većinu **praktičnih** primjena dostatno je poznavanje prostornoga tijeka **nadomjesne** (rezultirajuće) natege, a ona je geometrijsko mjesto težištā presjeka **svih natega** duž nosača.

Jedino se pri proračunu **produljenja žica** (užetā) pojedinih



Slika 9.20: Pet poteza duž osi natege

natega, te radi **vodenja osi natega mora odvojeno** promatrati svaka pojedina natega.

Općenito se prostorni tijek natege duž polovice nosača može podijeliti na **pet odsječaka** (slika 9.20).

9.3 Prikaz trenutačnih gubitaka sile prednapinjanja

- odsječak AB – početni pravac, čija duljina zavisi od vrsti i jačine natege i obično je navedena u priručnicima;
- odsječak BE – potez okomitih skretanja;
- odsječak CD – potez vodoravnih skretanja;
- odsječak EF – središnji pravac duljine oko desetine raspona.

Na potezu **okomitih** skretanja os natege postupno mijenja smjer od početnog do središnjega pravca i tako opisuje **parabolu**.

Tangenta na tu parabolu iz spojne točke s početnim pravcem pada u **polovište** ovoga poteza, a **kut** α što ga ta tangenta (pa tako i početni pravac) zaklapa sa središnjim pravcem predstavlja **ukupni kut okomitoga skretanja**.

Kut skretanja **bilo koje točke** unutar odsječka BE dobije se množenjem kuta α s **omjerom** udaljenosti te točke od točke B i duljine poteza okomitih skretanja.

9.3 Prikaz trenutačnih gubitaka sile prednapinjanja

Vodoravna skretanja proizlaze iz nužnosti da se natege **različito raspoređuju u polju i uz ležajeve.**

U polju se nastoji da im **težište padne što niže**, pa se što veći broj njih raspoređuje u **vodoravan niz**.

Uz ležajeve pak teži se da **osi** natega budu **što strmije** kako bi mogle preuzeti što veći dio **poprečne sile** od vanjskih opterećenja.

Stoga u blizini **ležaja** sve natege moraju biti **u srednjoj ravnini nosača**.

Duljina poteza **vodoravnih** skretanja određuje se iz **dvaju uvjeta**:

- natega mora dospjeti **u srednju ravninu nosača** prije nego po visini napusti **donju pojasicu** i
- **polumjer zakrivljenosti** osi natega ne smije biti veći od **dopustivoga** za dani tip natege.

9.3 Prikaz trenutačnih gubitaka sile prednapinjanja

Na potezu **vodoravnih** skretanja os natege opisuje **dvije parabole** što se dodiruju u **prijevojnoj točki** (slika 9.20).

Kut skretanja određuje se na sličan način kao i u slučaju okomitih skretanja.

Kada su poznati svi **skretni kutovi** može se pristupiti **računanju** dubitaka sile prednapinjanja u graničnim točkama odsječaka.

Prisjetimo se **općeg izraza** za gubitak sile prednapinjanja zbog **trenja**:

$$P = P_0 \cdot e^{-(\mu\alpha + \lambda l)} \quad (9.8)$$

gdje su:

- P_0 - sila prednapinjanja na početku promatranog odsječka;
- μ - koeficijent trenja između žica i zaštitne cijevi; najčešće je između 0,2 i 0,3

9.3 Prikaz trenutačnih gubitaka sile prednapinjanja

- α - kut skretanja osi natege od početka odsječka do promatrane točke;
- λ - koeficijent gubitaka sile prednapinjanja zbog **nenamjernih** (nepredvidivih) skretanja osi natege – tzv. koeficijent linijskih gubitaka; obično je između 0,17 i 0,7 %;
- x – udaljenost između početka odsječka i promatrane točke.

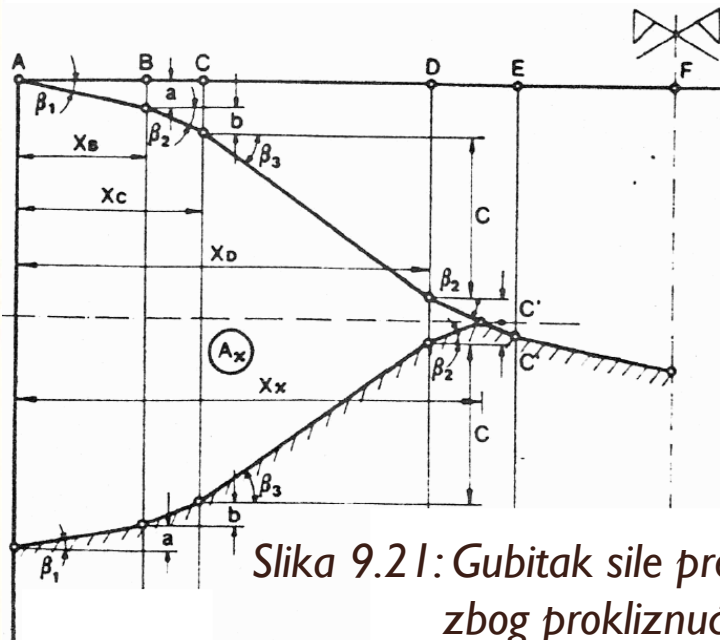
Vidimo dakle kako se odsječci dosta međusobno **razlikuju** po jačini gubitaka.

Na potezima početnog i središnjega pravca gubitci potječu samo od **nenamjernih** skretanja osi natege; na potezima BC i DE ovima se pribraja i utjecaj **okomitih** skretanja.

Duž odsječka CD skretanja su **prostorna**; prostorni skretni kut dobije se **vektorskim zbrajanjem** okomite i vodoravne sastavnice.

Tijek sile prednapinjanja duž nosača predočen je na slici 9.21.

9.3 Prikaz trenutačnih gubitaka sile prednapinjanja



Slika 9.21: Gubitak sile prednapinjanja
zbog prokliznuća klina

Strogo uezv, gubitci duž pojedinih odsječaka mijenjaju se po eksponencijalnom zakonu, ali te su krivulje toliko ispružene da se, bez bojazni od znatnije pogreške, mogu nadmjestiti pravcima.

Otklone ovih pravaca od ishodišnoga (tj. pravca što bi predstavljao silu prednapinjanja duž nosača kada ne bi bilo nikakvih gubitaka) označimo sa β_1 , β_2 i β_3 (slika 9.21).

Primjerice, kut β_3 može se izračunati ovako:

$$\tan \beta_3 = \frac{P_C - P_D}{x_D - x_C} \quad (9.21)$$

Kada znamo ove kutove možemo odrediti silu prednapinjanja u bilo kojoj točki.

9.3 Prikaz trenutačnih gubitaka sile prednapinjanja

Tako, primjerice, sila unutar odsječka CD dobije se iz **sile na početku odsječka i kuta priraštaja gubitaka u promatranom odsječku**:

$$P_{CD} = P_C - (x_{CD} - x_C) \tan \beta_3 \quad (9.22)$$

Priraštaje gubitaka između pojedinih točaka označimo **malim** slovima što odgovaraju oznakama točaka na početku odsječka, tj. priraštaj gubitka između točaka C i D označimo sa **c** itd.

Taj se priraštaj lako izračuna s pomoću **kuta priraštaja u promatranom odsječku**:

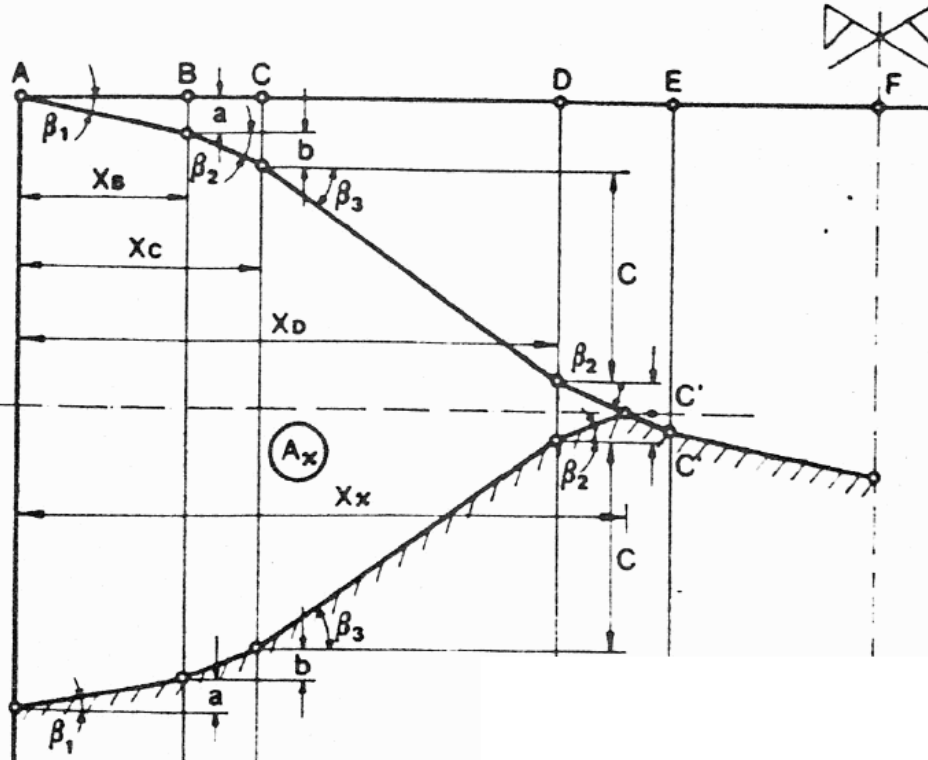
$$c = (x_D - x_C) \tan \beta_3 \quad (9.23)$$

S pomoću ovih priraštaja gubitaka lakše se računaju gubitci sile prednapinjanja zbog **prokliznuća klina**.

I oni se računaju primjenom **Hookeova zakona**.

9.3 Prikaz trenutačnih gubitaka sile prednapinjanja

Mjera prokliznuća klina (najčešće izražena u mm) jednaka je **ploštini lika** omeđena dvjema izlomljenim crtama od kojih jedna predstavlja **tijek sile prednapinjanja pri napinjanju natega**, a druga – **tijek sile nakon zaklinjavanja**, tj. utiskivanja klina (slika 9.21), podijeljenoj s **modulom elastičnosti čelika za prednapinjanje**.



Slika 9.21: Gubitak sile prednapinjanja zbog prokliznuća klina

Mjera uvlačenja klina jedan je od podataka što ih proizvođači natega daju u **prospektima**.

Obično se daju **dvije** vrijednosti, a gradilišno nas iskušto uči kako je preporučljivo uzimati u proračun vrijednosti bliže **gornjoj** granici.

9.3 Prikaz trenutačnih gubitaka sile prednapinjanja

Presjek do kojega seže utjecaj prokliznuća klina, tj. presjek u kojemu se sijeku dvije spomenute izlomljene crte može se **eksplicitno** odrediti ako znamo **u kojem je odsječku**.

Kako to **ne možemo znati unaprijed**, moramo ga najprije **pretpostaviti**, pa iz pripadnog izraza odrediti **apscisu presjeka**.

Ako smo **dobro** pretpostavili odsječak, **odmah** ćemo dobiti **točnu** apscisu presjeka; ako pak **nismo**, dobit ćemo neku vrijednost apscise što pada u **pravi** odsječak i **ponovljenim računanjem** (ali sada po izrazu što vrijedi za odsječak u kojem je sjecište) dobit ćemo **točnu** vrijednost apscise presjeka do kojega seže utjecaj prokliznuća klina.

Pretpostavimo da presjek do kojega seže utjecaj prokliznuća klina pada u odsječak **DE** (što je vrlo čest slučaj) i označimo apscisu toga presjeka sa **x**.

9.3 Prikaz trenutačnih gubitaka sile prednapinjanja

Ploštinu lika omeđena dvjema izlomljenim crtama, **A**, dobit ćemo jednostavnim **zbrajanjem dijelova** te ploštine po odsječcima (slika 9.21).

$$A_{\kappa} = x_B \cdot a + (x_C - x_B) \cdot b + (x_D - x_C) \cdot c + (x_{\kappa} - x_D) \cdot c' + 2x_B(b + c + c') + 2(x_C - x_B)(c + c') + 2(x_D - x_C) \cdot c' \quad (9.24)$$

ili u sažetijem obliku:

$$A_{\kappa} = x_B \cdot a + (x_B + x_C) \cdot b + (x_C + x_D) \cdot c + (x_{\kappa} + x_D) \cdot c' \quad (9.25)$$

Ako se sada c' izrazi preko nepoznate apscise presjeka što ju tražimo,

$$c' = (x_{\kappa} - x_D) \tan \beta_2 \quad (9.26)$$

dobit ćemo jednačbu **drugoga stupnja** po nepoznanici x_{κ} :

$$A_{\kappa} = x_B \cdot a + (x_B + x_C) \cdot b + (x_C + x_D) \cdot c + (x_{\kappa}^2 - x_D) \cdot \tan \beta_2 \quad (9.27)$$

Lijevu stranu ove jednačbe treba izraziti s pomoću **poznatih** veličina, tj. primijeniti **Hookeov** zakon:

$$A_{\kappa} = \kappa \cdot E \quad (9.28)$$

9.3 Prikaz trenutačnih gubitaka sile prednapinjanja

Ovdje su:

- κ - mjera prokliznuća klina [mm];
- E_p - modul elastičnosti čelika za prednapinjanje.

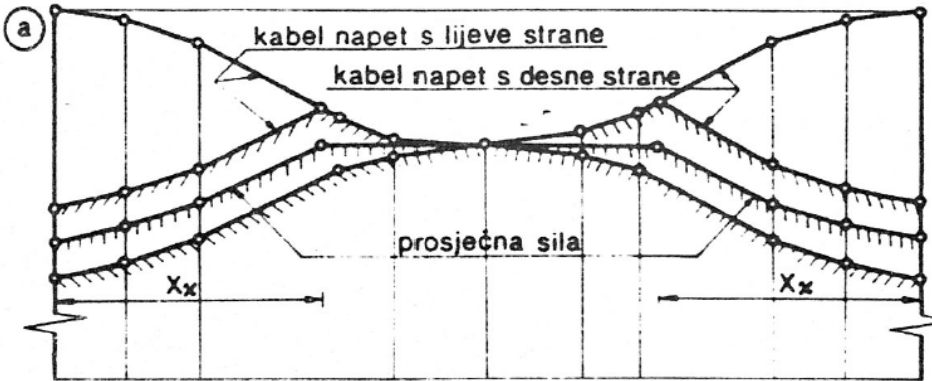
Iz ovako preuređene jedn. (9.27) dobiva se neposredno **apscisa presjeka do kojega seže utjecaj prikliznuća klina**:

$$x_\kappa = \sqrt{\frac{\kappa \cdot E + x_D \cdot \tan \beta_2 - x_B \cdot a - (x_B + x_C) \cdot b - (x_C + x_D) \cdot c}{\tan \beta_2}} \quad (9.29)$$

Veličina sile prednapinjanja u nekomu presjeku unutar odsječka zavisi od toga napinju li se natege samo **s jednoga čela nosača ili istodobno s obaju čela**.

U **prvom** slučaju do presjeka do kojega seže utjecaj prokliznuća klina sila prednapinjanja određena je **donjom izlomljenom crtom**, a na potezu nosača između **ovoga presjeka i njemu zrcalno simetričnoga – gornjom izlomljenom crtom** (slika 9.23).

9.3 Prikaz trenutačnih gubitaka sile prednapinjanja



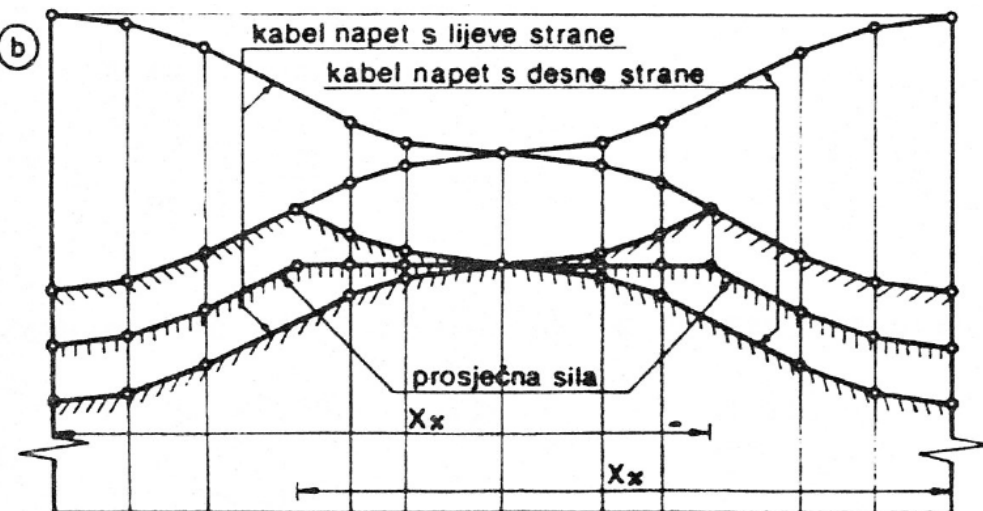
Slika 9.22: Zavisnost veličine sile prednapinjanja od dosega utjecaja prokliznuća klina; utjecaj ne seže do polovišta raspona

Tako je za odsječak CD u **prvom** slučaju (gdje utjecaj prokliznuća seže do presjeka u odsječku DE):

$$P_{CD} = P_C - 2(c + c') + \\ + (x_{CD} - x_C) \cdot \tan \beta_3 \quad (9.30)$$

a u **drugom** je slučaju:

U **drugom** je slučaju sila prednapinjanja **srednja vrijednost** između pripadnih veličina za **lijevu** i zrcalno simetričnu **desnu** nadomjesnu nategu (slika 9.23).



Slika 9.22: Zavisnost veličine sile prednapinjanja od dosega utjecaja prokliznuća klina; utjecaj seže do iza polovišta raspona

9.3 Prikaz trenutačnih gubitaka sile prednapinjanja

$$P_{CD} = P_C - (2c + c' + d + e) \cdot (x_{CD} - x_C) \tan \beta_3 \quad (9.31)$$

Ovdje P_C ima značenje kao i u jedn. (9.8), tj. vrijednost sile u presjeku C u stanju napinjanja natege, **bez uzimanja u obzir gubitka od prokliznuća klina**, dok P_{CD} predstavlja silu prednapinjanja u nekomu presjeku nosača **unutar odsječka CD uz uzimanje u obzir toga gubitka**.

Uočimo **znatnu razliku** između prosječnih sila u dvama razmatranim slučajevima.

Ovako smo definirali **početnu** vrijednost sile prednapinjanja **u bilo kojem presjeku duž nosača** ako znamo **veličinu te sile na mjestu napinjanja** (na čelu nosača), **prostorni tijek nadomjesne natege**, te **podatke** od kojih zavise **gubitci sile zbog trenja i prokliznuća klina**.

Gubitci od **elastičnoga skraćenja betona pribrajaju se ovima**.

9.4 Vremenski gubitci sile prednapinjanja

9.4.1 Opuštanje čelika za prednapinjanje

Opuštanje čelika proces je što je u početku znatno brži zbog čega se u predhodno napetih nosača dio opuštanja događa još prije unošenja sile prednapinjanja u beton.

Danas se općenito prihvaća kako isporučitelj čelika za prednapinjanje mora dostaviti podatke o mjeri opuštanja čelika.

Ukupan gubitak sile prednapinjanja zbog opuštanja čelika računa se iz izraza:

$$\Delta P_r = \Delta \sigma_{pr^\infty} \cdot A_p \quad (9.32)$$

U trenutku $t = \infty$ uzimamo da je vrijednost $\Delta \sigma_{pr^\infty}$ približno **trostruka** vrijednost $\Delta \sigma_{pr1000}$ što se izražava u postotcima **početnog** naprezanja.

Bitno je dobro procijeniti **razinu** početnih naprezanja.

9.4 Vremenski gubitci sile prednapinjanja

9.4.1 Opuštanje čelika za prednapinjanje

Naime, naprezanje σ_p **opada s vremenom**, najprije zbog trenutačnih gubitaka, a zatim usporedno s opuštanjem zbog skupljanja i puzanja betona.

Zato treba s mjerom **opreza** procijeniti vrijednost razmjerne razine početnih naprezanja σ_p / f_{pk} .

Obično se uzima da je **približno** $\sigma_p = \sigma_{pg}$, pri čemu je σ_{pg} naprezanje u čeliku za prednapinjanje pod **stalnim opterećenjem**.

U slučaju kada gubitke od opuštanja čelika treba odrediti točnije uzima se da je:

$$\sigma_p = \sigma_{pg} - 0,3 \Delta\sigma_{p,c+s+r} \quad (9.33)$$

Ovdje je međutim nužno **pretpostaviti** gubitke od skupljanja i puzanja betona, $\Delta\sigma_{p,c+s+r}$.

9.4 Vremenski gubitci sile prednapinjanja

9.4.1 Opuštanje čelika za prednapinjanje

Priraštaj gubitaka od opuštanja čelika u slučaju sklopova izloženih **visokim temperaturama** znatno je **nagliji**.

Ipak, **kratkotrajni** priraštaj temperature, kakav se događa pri **toplinskoj obradbi** nosača radi ubrzana **vezanja cementa**, iako izaziva kratkotrajan **nagao gubitak, ne utječe na konačnu silu prednapinjanja**.

Europske norme **preporučuju** uzimanje u obzir ovog učinka kada se radi o **serijskoj proizvodnji** i daju **upute** za provedbu dotičnoga proračuna.

9.4 Vremenski gubitci sile prednapinjanja

9.4.2 Skupljanje i puzanje betona

Skupljanje i puzanje betona događa se u **svih AB sklopova**, ali je njihov **učinak na stanje naprezanja** najznatniji u **PB sklopova**.

Već je rečeno u uvodnom predavanju kako je **nepoznavanje ovih pojava bilo glavnim uzrokom neuspjeha prednapinjanja** u prvom razdoblju.

Danas se najčešće ove **dvije pojave** i njihovi učinci razmatraju **zajedno** budući da je njihov **tijek u vremenu afin**; naime opisuju se funkcijama **istog oblika**:

$$\frac{\varepsilon_{cs}(t)}{\varepsilon_{cs,\infty}} = \frac{\varepsilon_{cc}(t)}{\varepsilon_{cc,\infty}} = \frac{\varphi_c(t)}{\varphi_{c,\infty}} \quad (9.34)$$

odakle slijedi:

$$\varepsilon_{cs}(t) = \frac{\varepsilon_{cs,\infty}}{\varphi_{c,\infty}} \cdot \varphi_c(t) \quad (9.35)$$

9.4 Vremenski gubitci sile prednapinjanja

9.4.2 Skupljanje i puzanje betona

Na ovoj su osnovi izvedeni izrazi za proračun gubitaka naprezanja u **osno napregnutih PB štapova (F. Dischinger, 1937.)**, a kasnije i za **savijane i mimoosno napregnute štапove (Busemann, 1950.)**.

Gubitak naprezanja u osno napregnutih štapova iznosi:

$$\Delta P_{t,c+s} = \left(P_0 + N_{Sd,It} + \frac{E_c \cdot A_c \cdot \varepsilon_{cs,\infty}}{\varphi_{c,\infty}} \right) \left(1 - e^{-\alpha_p \varphi_{c,\infty}} \right) \quad (9.36)$$

gdje su:

- P_i – početna sila prednapinjanja (nakon trenutačnih gubitaka);
 - $N_{Sd,It}$ – uzdužna sila od dugotrajnih opterećenja (tlačna sila pozitivna)
-
- $\alpha_p = \frac{E_p A_p}{E_p A_p + E_c A_c}$

9.4 Vremenski gubitci sile prednapinjanja

9.4.2 Skupljanje i puzanje betona

Za savijane i mimoosno napregnute štapove vrijedi:

$$\Delta P_{t,c+s} = \left(P_0 + N_{Sd,1} + E_c A_{c0} \cdot \frac{\varepsilon_{cs,\infty}}{\varphi_{c,\infty}} \right) \left(1 - e^{-\alpha_p \varphi_{c,\infty}} \right) \quad (9.37)$$

Ovdje su P_i i $N_{Sd,It}$ kao gore, a $M_{Sd,It}$ moment od dugotrajnih opterećenja.

Nadalje:

$$N_{Sd,1} = \frac{N_{S,It} e_1 - M_{S,It}}{e_p + e_1}, \quad e_1 = \frac{I_c}{E_p A_c}$$

$$A_{c0} = A_c \frac{e_1}{e_p + e_1}, \quad \alpha'_{p'} = \frac{E_p A_p}{E_p A_p + E_c A_{c0}}$$

U izrazima (9.33) do (9.37) radi jednostavnosti koeficijenti puzanja zapisivani su kao $\varphi_c(t)$ mjesto $\varphi_c(\tau)$, gdje je $\tau = t - t_0$, te $\varphi_{c,\infty}$ mjesto $\varphi_c(\infty, t_0)$.

Vremenski gubitci od skupljanja i puzanja vrlo su **složeni** i **teško ih je procijeniti** zbog velikih razlika u ε_{cs} i φ_c .

9.4 Vremenski gubitci sile prednapinjanja

9.4.2 Skupljanje i puzanje betona

Ti gubitci najčešće iznose:

- u **predhodno** napetih sklopova $12 \div 24\%$ (zavisno od zrelosti betona pri unošenju sile prednapinjanja);
- u **naknadno** napetih sklopova betoniranih **na skeli** $10 \div 20\%$;
- u **naknadno** napetih **PG** sklopova $5 \div 10\%$.

Norme propisuju da se zajedno računaju gubitci od svih triju uzroka u promatranom trenutku t iz izraza:

$$\Delta P_{t,c+s+r} = \Delta \sigma_{t,c+s+r} \cdot A_p \quad (9.38)$$

Pri čemu se ukupni gubitak naprezanja računa iz izraza:

$$\Delta \sigma_{p,c+s+r} = \frac{\varepsilon_{cs}(t, t_0) E_p + 0,8 \Delta \sigma_{prt} + \alpha_e \cdot \varphi_c(t, t_0) \cdot (\sigma_{cg} + \sigma_{cp}) + \alpha_e \varphi_c(t, t_1) \sigma_{c\Delta g}}{1 + \alpha_e \rho_p (1 + (A_c / I_c) \cdot e_p^2) [1 + 0,8 \varphi_c(t, t_0)]} \quad (9.37a)$$

Značenja pojedinih oznaka predočena su na sljedećoj prozirnici.

9.4 Vremenski gubitci sile prednapinjanja

9.4.2 Skupljanje i puzanje betona

- t - starost betona u promatranom trenutku (u danima);
- t_s - starost betona na početku vremenskog odsječka za koji se računa utjecaj skupljanja (u danima);
- t_i - starost betona u trenutku nanošenja dodatnoga stalnog opterećenja, Δg ;
- $\varepsilon_{cs}(t, t_s)$ - predviđeno ukupno skraćenje od skupljanja nakon vremena t ;
- $\Delta\sigma_{prt}$ - gubitak naprezanja od opuštanja čelika;
- $\alpha_e = E_p/E_{cm}$
- t_0 - starost betona na početku vremenskog odsječka za koji se računa utjecaj puzanja (u danima);
- $\varphi_c(t, t_0)$ - koeficijent puzanja u razdoblju od t_0 do t ;
- $\rho_p = A_p/A_c$;

9.4 Vremenski gubitci sile prednapinjanja

9.4.2 Skupljanje i puzanje betona

- σ_{cg} - naprezanje u betonu u razini težišta natega od vlastite težine nosača;
- σ_{cpi} - početno naprezanje u betonu u razini težišta svih natega od prednapinjanja;
- $\sigma_{c\Delta g}$ - naprezanje u betonu u razini težišta natega od dodatnoga stalnog opterećenja.

Brojniku u izrazu (9. 37a) mogu se dodavati **novi članovi** ako se **opterećenje** nanosi **u više navrata**, što je povezano i s **postupkom izvedbe**.

Ako se ovako izračunani **vremenski gubitci sile prednapinjanja** **razlikuju od prepostavljenih za više od 5 %, proračun treba ponoviti.**